

**БЕЗИНЖЕКЦИОННЫЙ УЗКОПОЛОСНЫЙ ЛАЗЕР
ДАЛЬНЕГО ИК ДИАПАЗОНА НА ГОРЯЧИХ ДЫРКАХ
И ЕГО ИСПОЛЬЗОВАНИЕ
ДЛЯ ИССЛЕДОВАНИЯ ПРИМЕСНОГО ПРОБОЯ**

Л. Е. Воробьев, С. Н. Данилов, Д. В. Донецкий,
Ю. В. Кочегаров, В. И. Стафеев, Д. А. Фирсов

Санкт-Петербургский государственный технический университет,
195251, Санкт-Петербург, Россия

(Получена 9.07.1992. Принята к печати 14.07.1992)

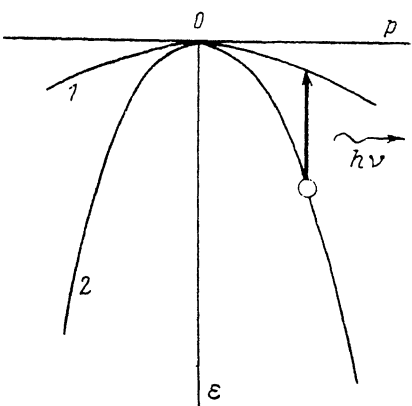
С помощью уравнений баланса импульса, мощности и числа частиц в зонах тяжелых и легких дырок в германии в скрещенных электрическом и магнитном полях рассчитан коэффициент усиления дальнего ИК излучения. Создан узкополосный ($\Delta\nu < 0.3 \text{ см}^{-1}$) лазер дальнего ИК диапазона на межподзонных переходах горячих дырок. Использовались два метода: метод селекции мод и выделение узкой спектральной области генерации с помощью селективного зеркала. Приведены спектры излучения лазера. Генерация может быть получена на любых двух длинах волн из диапазонов 80—120 и 150—210 мкм. Перестройка длины волны осуществляется при изменении электрического и магнитного полей. Узкополосный лазер использован для исследований электрического пробоя доноров в германии. Найдена зависимость числа доноров в основном и возбужденном состояниях от электрического поля.

Введение. Механизм усиления дальнего ИК излучения при прямых межподзонных переходах горячих дырок в германии в скрещенных электрическом и магнитном полях ($E \perp B$) (рис. 1) был предложен в [¹]. Величина и степень инверсии населенности горячих дырок в германии в полях $E \perp B$ были определены в [²], а генерация дальнего ИК излучения при разогреве дырок в германии была обнаружена в [³], при других экспериментальных условиях — в [⁴], а затем в [⁵]. Основные исследования стимулированного излучения при межподзонных переходах горячих дырок в германии были выполнены Андроновым с сотр. и Комиямой с сотр. (см., например, [⁶]). Лазеры на межподзонных переходах горячих дырок генерируют излучение в двух спектральных областях: 80—120 и 150—210 мкм. Перестройка по спектру осуществляется изменением электрического и магнитного полей. Существенную роль в формировании ИК спектров излучения и усиления играет квантование энергетического спектра легких дырок в магнитном поле [⁶]. Мощность излучения достигает 10 Вт. При использовании неселективных зеркал резонаторов ширина линии $\Delta\nu = 15-30 \text{ см}^{-1}$. Большая ширина линии излучения ограничивает возможности практического применения таких лазеров. Цель настоящей работы — создание узкополосных лазеров на межподзонных переходах горячих дырок в германии.

1. Механизм инверсии населенности дырок

Механизм инверсии населенности горячих дырок, предложенный в [¹], основан на почти бесстолкновительном движении дырок в пассивной области импульсов или энергий $\varepsilon < -\omega_0$ ($-\omega_0$ — энергия оптического фона). При высокой частоте столкновений дырок в пассивной области (т. е.

Рис. 1. Прямые переходы легких дырок (2) в зону тяжелых дырок (1) с эмиссией фотона.



при большой концентрации примесей или высокой температуре решетки T) более подходящим представляется другое объяснение причин инверсии населенности горячих дырок, основанное на разном разогреве тяжелых и легких дырок в полях $E \perp B$. Предположим, что функции распределения по импульсам горячих тяжелых и легких дырок в полях $E \perp B$ — смещенные максвелловские:

$$f_i(p) = A_i \exp \frac{(p - p_{dr,i})^2}{2m_i k_B T_i};$$

$$A_i = \frac{2^{1/2} \pi^{3/2} \hbar^2 N_i}{m_i^{3/2} (k_B T_i)^{3/2}}, \quad (1)$$

где $i = 1$ для тяжелых дырок, $i = 2$ для легких, N_i и $p_{dr,i}$ — концентрация и дрейфовый импульс дырок i -сорта. При частоте междырочных столкновений $\nu_{b-h} < \tau_o^{-1}$, где τ_o — время эмиссии оптического фонона, это предположение не выполняется как в отсутствие магнитного поля [7], так и в магнитном поле для горячих дырок [8]. Наибольшая концентрация дырок в существующих лазерах $N \approx 6 \cdot 10^{14} \text{ см}^{-3}$, что более чем на порядок меньше необходимого для выполнения вышеприведенного неравенства. Тем не менее использование функции распределения типа (1) дает качественно верные результаты.

Температуры T_i и дрейфовые импульсы $p_{dr,i}$ горячих дырок могут быть получены из уравнений баланса импульса, мощности и числа частиц в подзонах ($i, j = 1$ для тяжелых дырок; $i, j = 2$ для легких):

$$\mathbf{p}_{dr,i} \langle \frac{1}{\tau_i} \rangle = e\mathbf{E} + \frac{e}{m_i c} [\mathbf{p}_{dr,i} \times \mathbf{B}], \quad (2)$$

$$N_i \frac{e}{m_i} \mathbf{p}_{dr,i} \mathbf{E} = N_i \left\langle \left(\frac{d\epsilon}{dt} \right)_{A+O}^{i \rightarrow i} \right\rangle + N_i \left\langle \left(\frac{d\epsilon}{dt} \right)_{A+O+i}^{i \rightarrow j} \right\rangle - N_j \left\langle \left(\frac{d\epsilon}{dt} \right)_{A+O+i}^{i \rightarrow j} \right\rangle, \quad (3)$$

$$N_i \langle \frac{1}{\tau_{i \rightarrow j}} \rangle = N_j \langle \frac{1}{\tau_{j \rightarrow i}} \rangle. \quad (4)$$

Угловые скобки означают усреднение по функции распределения горячих дырок. Например, в уравнении (2) для обратного времени релаксации импульса имеем

$$\langle \frac{1}{\tau_i} \rangle = \frac{2}{3\sqrt{\pi}} \int e^{-x_i \tau^{-1}} (x_i) x_i^{3/2} dx_i; \quad (5)$$

$$x_i = \frac{\epsilon}{k_B T_i}.$$

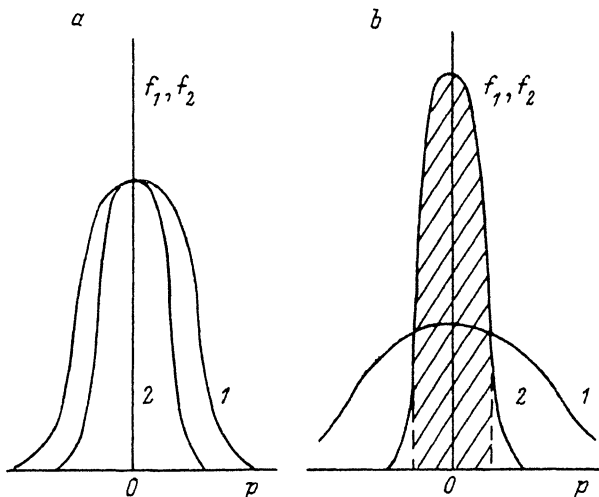


Рис. 2. Иллюстрация механизма инверсии населенности горячих дырок. а – равновесные функции распределения по импульсам тяжелых дырок f_1 и легких дырок f_2 ; $E = B = 0$. б – функции распределения тяжелых и легких дырок в скрещенных полях E и B . Область инверсии заштрихована. Инверсия возникает благодаря более сильному разогреву тяжелых дырок по сравнению с легкими и увеличению концентрации легких дырок.

В уравнениях (3) и (4) усредненные скорости потерь энергии и частоты столкновений:

$$\langle \varphi \rangle = \frac{2}{\sqrt{\pi}} \int e^{-x_i} \varphi(x_i) x^{1/2} dx_i; \quad (6)$$

$$x_i = \frac{\epsilon}{k_B T_i};$$

$$\varphi(\epsilon) = \tau_{i+j}^{-1}(\epsilon) \text{ или } de/dt(\epsilon).$$

При вычислении времени релаксации импульса учитывались внутри- и межподзонное рассеяние на акустических (A) и оптических (O) колебаниях решетки и внутризонное примесное (I) рассеяние. При вычислении концентрации дырок в (4) учитывалось межподзонное A -, O - и I -рассеяние.

Решение уравнения (2):

$$p_{dr_i} = m_i \frac{\mu_i E + \mu_i^2 [E \times B]/c}{1 + \mu_i^2 B^2/c^2}; \quad (7)$$

$$\mu_i = \frac{e\langle \tau_i \rangle}{m_i}.$$

Левая часть уравнения (3), определяющая скорость набора энергии, преобразуется теперь следующим образом:

$$N_i \frac{e}{m_i} p_{dr_i} E = N_i e \frac{\mu_i E^2}{1 + \mu_i^2 B^2/c^2}. \quad (8)$$

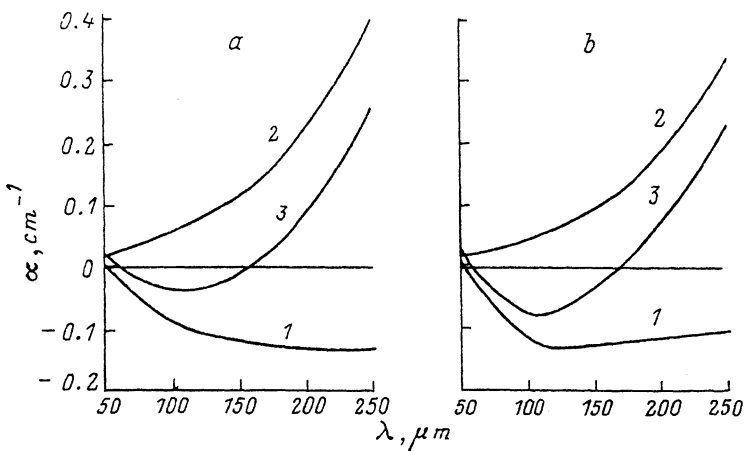


Рис. 3. Спектральные зависимости коэффициентов усиления излучения α_{21} (1), поглощения света при непрямых переходах α_i (2) и суммарной величины $\alpha_a = \alpha_{21} - \alpha_i$ (3). Температура решетки $T = 10$ К; $N = 2.5 \cdot 10^{14}$ см $^{-3}$; $N_1 = 5 \cdot 10^{14}$ см $^{-3}$; $B = 2.2$ Т; $E = 3.3$ кВ/см. а — расчетные зависимости; $T_1 = 247$, $T_2 = 147$ К; увеличение концентрации легких дырок по сравнению с равновесной величиной $N_2/N_{20} = 2.1$. б — зависимости, полученные на основании экспериментально определенных функций распределения легких и тяжелых дырок по энергиям; $T_1 = 213$, $T_2 = 138$ К; $N_2/N_{20} = 1.8$; температуры вычислялись по формуле $T_i = 2/(3k_B) \langle \varepsilon_i \rangle$, где $\langle \varepsilon_i \rangle$ находилась с помощью усреднения энергии дырок по функции распределения; N_2 определялась также исходя из функции распределения легких дырок.

Нетрудно видеть, что при $\mu_2 B/c \gg 1$ и $\mu_1 B/c \approx 1$ скорость набора энергии тяжелыми дырками больше, чем легкими. В результате в скрещенных электрическом и магнитном полях $T_1 > T_2$, в то время как при $B = 0$ справедливо неравенство $T_2 > T_1$. Таким образом, в полях $E \perp B$ может возникнуть инверсия населенности при малых значениях импульса p (рис. 2). Из-за большей средней энергии тяжелых дырок частота их межподзонного рассеяния в полях $E \perp B$ увеличивается по сравнению с исходной сильнее, чем для легких дырок. Это приводит, согласно (4), к увеличению концентрации легких дырок, что еще более увеличивает степень инверсии населенности дырок (рис. 2).

Коэффициент усиления света при прямых переходах между зонами легких и тяжелых дырок

$$\alpha_{21} = Ck^3 [\langle f_2 \rangle_\Omega - \langle f_1 \rangle_\Omega]/\hbar\nu; \\ \varepsilon_2(p) - \varepsilon_1(p) = \hbar\nu, \quad (9)$$

где $\langle f_2 \rangle_\Omega$ и $\langle f_1 \rangle_\Omega$ — функции распределения тяжелых и легких дырок (1), усредненные по всем направлениям p , а коэффициент C может быть получен из сравнения с экспериментальными значениями коэффициента поглощения света при прямых межподзональных переходах дырок из зоны тяжелых в зону легких дырок [9]. Он оказался равным $C = 1.24 \cdot 10^{-17}$ эВ·см 2 . Коэффициент усиления света α_a уменьшается из-за поглощения света при непрямых внутри- и межподзональных переходах дырок с участием A - и O -фононов и примесей на величину α_i . В результате

$$\alpha_a = \alpha_{21} - \alpha_i. \quad (10)$$

Величина α_i была рассчитана во втором порядке теории возмущений. Результаты расчетов представлены на рис. 3, а. Для сравнения на рис. 3, б показаны результаты вычислений на основании экспериментально определенных функций распределения тяжелых и легких дырок [8]. Несмотря на грубую аппроксимацию

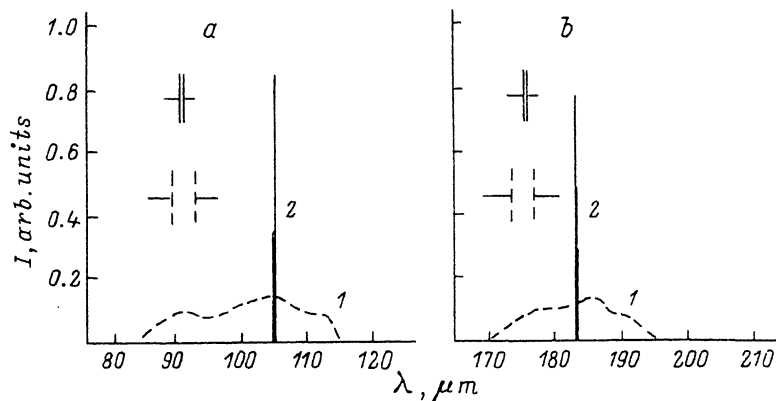


Рис. 4. Спектры излучения I лазера с неселективным (1) и селективным (2) резонатором. $T = 4.2$ К. Селективный резонатор — полуконфокальный, включающий в себя сферическое зеркало с $R \approx 0.95 \div 0.97$. $a - E = 1.3$ кВ/см; $B = 1.6$ Т. $b - E = 0.55$ кВ/см; $B = 0.55$ Т.

функций распределения в виде (1), результаты расчета с помощью уравнений баланса (2)–(4) удовлетворительно согласуются с экспериментом.

Усиление для выбранных значений E , B и концентрации примесей возможно в диапазоне 50–150 мкм. В длинноволновой области $\alpha_s < 0$ из-за поглощения света дырками при непрямых внутри- и межподзонных переходах. В коротковолновой области при $\lambda < 50$ мкм $\alpha_s < 0$ из-за отсутствия инверсии населенности при больших p , а значит, и $h\nu$ (рис. 2 и 1).

2. Конструкция лазера

Квантовый генератор представлял собой параллелепипед из германия p -типа проводимости ($N = 6 \cdot 10^{13}$ см $^{-3}$) размерами $50 \times 7 \times 5$ мм с омическими контактами на гранях 5×50 мм. Границы 5×7 мм были плоскопараллельны с точностью $2'$ и отполированы. Границы 7×50 ммшлифовались грубым порошком для подавления мод полного внутреннего отражения. Зеркала полуконфокального резонатора прикреплялись к торцам кристалла. Кристалл помещался в сверхпроводящий соленоид с внешним диаметром 20 и длиной 100 мм. Все устройство (кристалл с зеркалами резонатора и соленоид) находилось в стандартном транспортном сосуде Дьюара для жидкого гелия.

Длительность импульсов электрического поля могла меняться в интервале 0.3–5 мкс, частота повторения была менее 10 Гц.

3. Получение узкой линии генерации

Использовались два метода получения узкой линии генерации [10]. Первый метод основан на применении селективного зеркала, второй — это метод селекции мод [11]. Оба метода известны в квантовой электронике, но впервые применены для твердотельных лазеров субмиллиметрового диапазона. Их использование для получения узкой линии генерации полупроводникового лазера дальнего ИК диапазона имеет ряд особенностей.

3.1. *Первый метод.* Одно из зеркал резонатора было сферическим, с золотым покрытием и коэффициентом отражения $R \approx 1$. Второе зеркало представляло собой плоскую многослойную структуру, составленную из слоев тефлона и пластин кремния. Коэффициент отражения такого зеркала был вычислен согласно [12]. Генерация возникает, если $R > 90\text{--}92\%$. Согласно вычислениям, такой

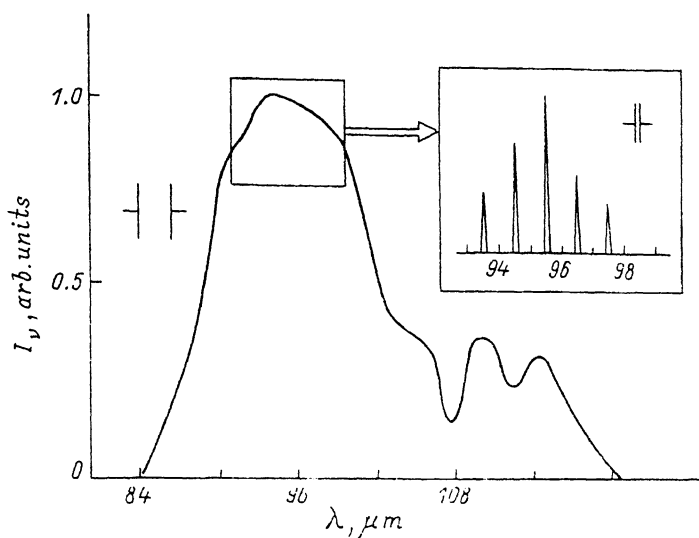


Рис. 5. Спектр излучения лазера с полуконфокальным резонатором. $T = 4.2$ К. Плоское зеркало представляет собой металлическую сетку с $R \approx 0.96$ при $\lambda = 100$ мкм, отделенную от торца кристалла воздушным промежутком. На вставке — моды резонатора, образованного сеткой и торцом кристалла. $E = 1.5$ кВ/см; $B = 1.1$ Т.

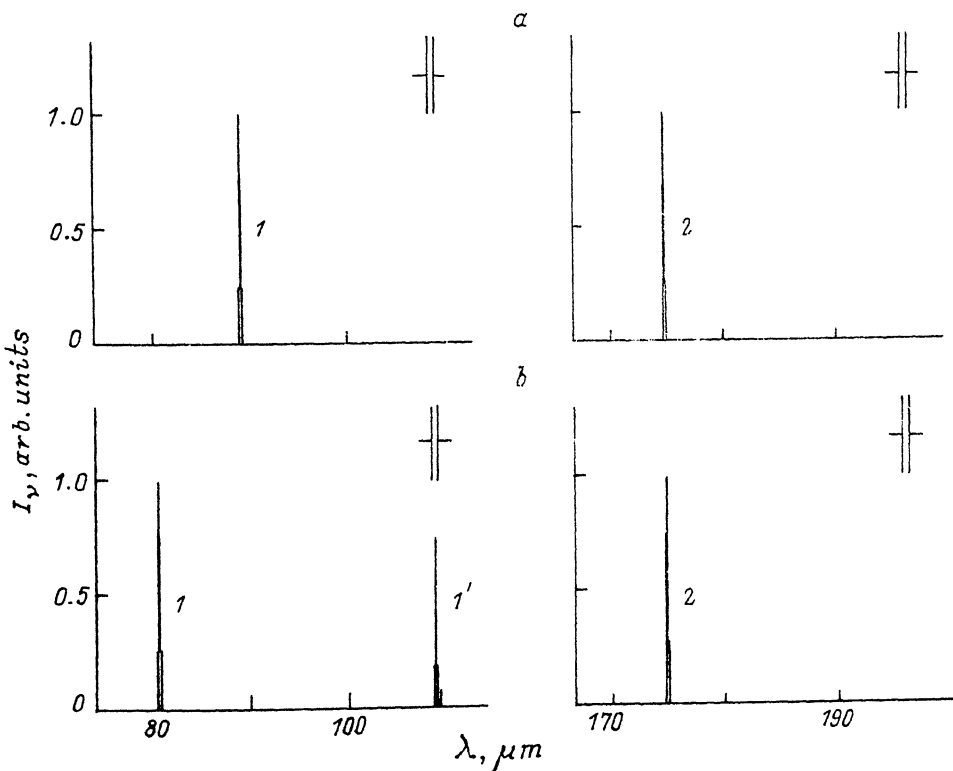


Рис. 6. Спектры излучения лазера с селекцией мод. а и б отличаются толщиной пластин. E , кВ/см: 1, 1' — 1.5, 2 — 0.5; B , Т: 1, 1' — 1.1; 2 — 0.4.

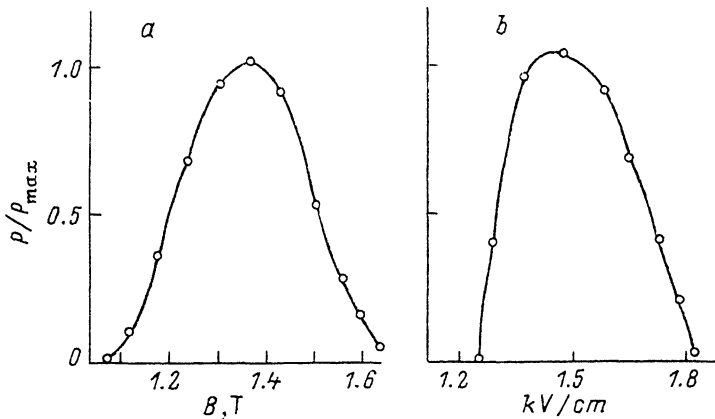


Рис. 7. Зависимости относительной мощности излучения P/P_{\max} от магнитного (а) и электрического (б) полей. а — $E = 1.5 \text{ кВ/см}$; б — $B = 1.35 \text{ Т}$.

коэффициент отражения для используемого многослойного зеркала может быть достигнут в узкой спектральной полосе, что и определяет избирательность резонатора.

Были получены две линии стимулированного излучения (сплошные линии на рис. 4). Спектральное разрешение прибора было $\approx 0.3 \text{ см}^{-1}$. Перестройка длины волн излучения осуществлялась изменением магнитного и электрического полей. Полная интенсивность была примерно одинакова для лазеров с неселективным и селективным зеркалами и достигала 10 Вт. Сохранение мощности излучения свидетельствует об однородности уширения, что согласуется с динамикой движения легких дырок и механизмом появления инверсии населенности дырок.

3.2. Второй метод. Плоское зеркало представляло собой металлическую сетку с коэффициентом отражения $R \approx 95\text{--}97\%$, отделенную от торца кристалла воздушным промежутком. Спектр излучения такого лазера представлен на рис. 5. При достаточно хорошем разрешении в спектре отчетливо видны пики, расстояние между которыми $\Delta\nu = c/2l$, где l — расстояние между сеткой и торцом кристалла. Моды второго резонатора, образованного сферическим зеркалом на втором торце кристалла и его первым торцом, разделены спектральным интервалом $\Delta\nu_L = c/2nL$, где L — длина кристалла, причем $\Delta\nu_L \ll \Delta\nu$. Селекция мод осуществлялась благодаря введению в воздушный зазор двух плоскопараллельных полупроводниковых пластин, играющих роль интерферометров Фабри—Перо. Спектры излучения показаны на рис. 6. Возможно, в результате взаимодействия мод указанных выше резонаторов и интерферометров была достигнута одновременная генерация. Чтобы установить это, необходимо иметь прибор с разрешающей способностью $\Delta\nu < \Delta\nu_L$.

Перестройка линии излучения осуществлялась изменением B и E . Меняя толщину пластин и воздушного зазора, можно получить генерацию на любой длине волн из диапазонов 80—120 и 150—210 мкм. Для некоторых применений необходимо иметь сразу две линии излучения, разделенные спектральным интервалом $\Delta l = 20\text{--}30$ мкм. Такую ситуацию легко реализовать с помощью подбора толщин пластин (рис. 6, б).

Как и в предыдущем случае, интегральная мощность генерации была примерно одинаковой для широкого спектра (рис. 5) и узкой линии (рис. 6). Интенсивность излучения узкополосного лазера в зависимости от B и E представлена на рис. 7. Плавная зависимость в области максимума позволяет считать, что нестабильность B и E почти не отразится на мощности излучения. Мощность излучения узко-

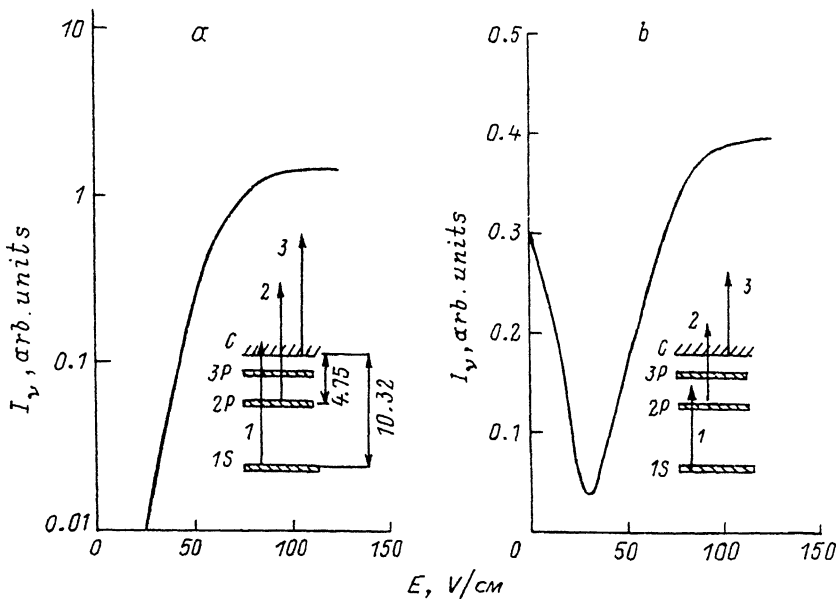


Рис. 8. Зависимости интенсивности прошедшего через образец излучения от электрического поля. $T = 4.2 \text{ K}$. $N_D = 7.6 \cdot 10^{14} \text{ см}^{-3}$. *a* — длина волны излучения $105 \text{ м}\mu\text{м}$ ($h\nu = 11.8 \text{ мэВ}$); *b* — длина волны излучения $183 \text{ м}\mu\text{м}$ ($h\nu = 6.87 \text{ мэВ}$). На вставках — схемы переходов, определяющих поглощение излучения лазера в германии, легированном сурьмой. Расщеплением основного состояния сурьмы на синглет и триплет пренебрегается. Энергии уровней приведены в мэВ.

полосного лазера в спектральной области 80 — $120 \text{ м}\mu\text{м}$ достигала 4 Вт . Измеренная расходимость излучения была примерно равна 1° .

4. Исследование примесного пробоя с помощью лазера дальнего ИК диапазона

Обычно анализ электрического пробоя мелких примесей в германии проводят с помощью вольт-амперных характеристик и эффекта Холла [13, 14]. Такие опыты позволяют найти зависимости концентрации свободных электронов n и их подвижности μ от поля. Использование лазеров дальнего ИК диапазона расширяет информацию о примесном пробое. Можно дополнительно к зависимостям $n(E)$ и $\mu(E)$ определить концентрацию нейтральных доноров в основном и возбужденном состояниях N_D^S и N_D^P в зависимости от E . Кроме того, ставилась задача определить возможность использования пластины германия толщиной d в качестве управляемого полем затвора для лазера дальнего ИК излучения. Такой затвор может быть использован для осуществления модуляции добротности лазера и получения мощных коротких импульсов дальнего ИК излучения. Для этого необходимо выполнение условий $\alpha_c d \gg \alpha_o L \gg \alpha_o d$, где α_c — коэффициент поглощения ИК излучения в закрытом состоянии ($E = 0$), α_o — в открытом состоянии ($E \neq 0$), α_o — коэффициент усиления излучения лазера. В закрытом состоянии поглощениe α_c определяется нейтральными атомами донора, а в открытом (при больших E), главным образом, свободными электронами. Так как $\alpha_c \gg \alpha_o$, указанные условия легко осуществить, варьируя d и концентрацию доноров.

Для исследований были выбраны пластины германия n -типа, легированного сурьмой, размерами $5 \times 5 \times 10 \text{ мм}$ и концентрацией $n = 7.6 \cdot 10^{14} \text{ см}^{-3}$. Спектры пропускания излучения лазера представлены на рис. 8. На вставках показаны схемы переходов электронов, обусловливающих поглощение света с $\lambda = 105$ и $183 \text{ м}\mu\text{м}$. Отметим, что сечение поглощения света ($\lambda = 105 \text{ м}\mu\text{м}$) нейтральными

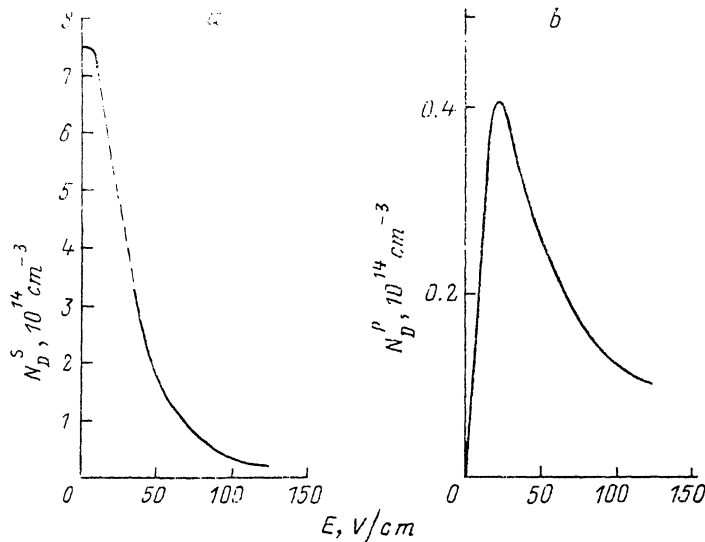


Рис. 9. Концентрации нейтральных доноров в германии в основном (а) и возбужденном (б) состояниях. $T = 4.2 \text{ K}$, $N_D = 7.6 \cdot 10^{14} \text{ см}^{-3}$.

донорами сурьмы в германии (переходы 1 на рис. 8, а) велико: $\sigma = 1.6 \cdot 10^{-14} \text{ см}^2$ [15]. При $E = 0$ коэффициент поглощения излучения в использованном образце $\alpha_c \approx 11 \text{ см}^{-1}$. Поэтому просветление образца наступает при напряжении, значительно превышающем напряжение пробоя (рис. 8, а). Необходимо заметить, что для излучения с $\lambda = 183 \text{ мкм}$ $\epsilon^{3P} - \epsilon^S > h\nu > \epsilon^{2P} - \epsilon^S$ (переходы 1 на рис. 8, б). Тем не менее поглощение света с такой энергией кванта возможно из-за уширения линий поглощения при внутрицентровых переходах электронов вследствие образования пар близко расположенных доноров и комплексов из 3, 4 и более примесных атомов [16]. Сечение поглощения на крыльях линий $S \rightarrow 2P$ и $S \rightarrow 3P$, определенное по пропусканию света при $E = 0$ (рис. 8, б), более чем на порядок меньше характерного для центра линий. Обозначим оба перехода как $S \rightarrow P$ и будем в дальнейшем считать, что $\alpha_{SP} = \sigma_{SP} N_D^S(E)$ и форма линий поглощения при переходах $S \rightarrow P$ не меняется с E . Как следует из дальнейшего анализа, вклад переходов $S \rightarrow P$ в поглощениe света с $\lambda = 183 \text{ мкм}$ мал по сравнению с вкладом переходов $P \rightarrow C$ (зона проводимости C ($P \rightarrow C$, переходы 2 на рис. 8, б)).

Для дальнейшего анализа необходимо определить коэффициент поглощения света горячими электронами (переходы 3 на рис. 8, а и б). Сечение поглощения света электронами $\sigma_a(E)$ было вычислено с помощью уравнений баланса, аналогичных приведенным в разделе 1. При расчете $\sigma_a(E)$ учитывалось взаимодействие электронов с акустическими, оптическими и междолинными фононами и примесями. Для простоты считалось, что имеется один возбужденный уровень. Отметим, что при $h\nu \gg \epsilon_D^P$ сечение σ_{PC} пропорционально ϵ_D^P и уменьшается с уменьшением энергии ионизации ϵ_D^P . Поэтому вклад в поглощениe света переходов из более высоколежащих состояний в зону проводимости меньше, чем переходов $2P \rightarrow C$ (при одинаковом заполнении состояний). Сечения поглощения света при переходах электронов с основного состояния $1S$ ($1A_1 + 1T_1$) и возбужденного в зону проводимости σ_{SC} и σ_{PC} были взяты из литературных данных [15] или рассчитаны.

Результаты такого упрощенного анализа данных по пропусканию излучения представлены на рис. 9, *a*, *b*. Обращает на себя внимание рост числа возбужденных доноров N_D^P при увеличении E . Он вызван как взаимодействием горячих электронов с нейтральными донорами, так и захватом горячих электронов на возбужденные уровни. Последующий спад N_D^P с ростом E вызван ударной ионизацией возбужденных доноров.

СПИСОК ЛИТЕРАТУРЫ

- [1] А. А. Андронов, В. А. Козлов, В. А. Мазов, В. Н. Шастин. Письма ЖЭТФ, 30, 585 (1979).
- [2] Л. Е. Воробьев, Ф. И. Осокин, В. И. Стafeев, В. Н. Тулупенко. Письма ЖЭТФ, 34, 125 (1981).
- [3] Л. Е. Воробьев, Ф. И. Осокин, В. И. Стafeев, В. Н. Тулупенко. Письма ЖЭТФ, 35, 360 (1982).
- [4] А. А. Андронов, И. В. Зверев, В. А. Козлов, Ю. Н. Ноздрин, С. А. Павлов. Письма ЖЭТФ, 40, 69 (1984).
- [5] S. Komiyama, N. Iizuka, Y. Akasaka. Appl. Phys. Lett., 47, 958 (1985).
- [6] Optic. Quant. Electron., Special Issue on Far-infrared Semiconductors Lasers, 23 (1991).
- [7] E. Pinson, R. Bray. Phys. Rev. A, 136, 1449 (1964).
- [8] Л. Е. Воробьев, В. И. Стafeев, В. Н. Тулупенко, Ю. К. Пожела, Е. В. Старикив, П. Н. Шикторов. ФТП, 19, 708 (1985).
- [9] М. А. Васильева, Л. Е. Воробьев, В. И. Стafeев. ФТП, 1, 29 (1967).
- [10] L. E. Vorobjev, S. N. Danilov, D. V. Donetzky, Yu. V. Kochegarov, V. I. Stafeev, D. A. Firsov. In: Proc. XVI Int. Conf. Infrared and Millimeter Waves, 176. Lausanne (1991); In: Proc. 1991 Int. Semicond. Dev. Res. Symp., December, 387. Charlottesville (1991).
- [11] В. Демтредер. Лазерная спектроскопия. Основные принципы и техника эксперимента, 607. М. (1970).
- [12] М. Борн, Е. Вольф. Основы оптики, 855. М. (1970).
- [13] S. H. Koenig, R. D. Brown, W. Shillinger. Phys. Rev., 128, 1668 (1962).
- [14] В. Ф. Банная, Л. И. Веселова, Е. М. Гершензон, В. Р. Гринберг. ФТП, 5, 155 (1991).
- [15] J. H. Renzer, P. Fisher. Phys. Rev. A, 135, 1125 (1964); P. Fisher. Phys. Chem. Sol., 23, 1346 (1962).
- [16] Л. В. Берман, Ш. М. Коган. ФТП, 21, 153 (1987).

Редактор Л. В. Шаронова